

1. Publicação nº <i>INPE-3173-PRE/543</i>	2. Versão	3. Data <i>Julho, 1984</i>	5. Distribuição <input type="checkbox"/> Interna <input checked="" type="checkbox"/> Externa <input type="checkbox"/> Restrita
4. Origem <i>DTL/DAF</i>	Programa <i>ETCOMS</i>		
6. Palavras chaves - selecionadas pelo(s) autor(es) <i>OSCILADOR DE MICROONDAS</i> <i>OSCILADOR ESTABILIZADO</i> <i>CAVIDADE RESSONANTE</i>			
7. C.D.U.: 621.3.029.6:621.373			
8. Título	<i>INPE-3173-PRE/543</i> <i>OSCILADOR DE MICROONDAS CONTROLADO POR</i> <i>TENSÃO E ESTABILIZADO POR CAVIDADE</i> <i>RESSONANTE EM 1250 MHz</i>		
9. Autoria	<i>Paulo M. Marshall</i> <i>Assinatura responsável</i> <i>Paulo Marshall</i> <i>fue Edson</i> <i>Lucio B.T. Cividanes</i>		
10. Páginas:	19		
11. Última página:	13		
12. Revisada por			
13. Autorizada por	<i>Nelson de Jesus Parada</i> <i>Jarader</i> <i>Diretor Geral</i>		
14. Resumo/Notas	<p><i>Este trabalho apresenta o projeto e funcionamento de um oscilador controlado por tensão e estabilizado por cavidade ressonante, destinado a operar como VCO de um sintetizador de frequências para uma estação terrena SCPC FM de baixa capacidade.</i></p>		
15. Observações	<i>Submetido para apresentação na 36ª Reunião Anual da Sociedade Brasileira para o Progresso da Ciência - SBPC, de 4 a 11 de julho de 1984, em São Paulo, SP.</i>		

ABSTRACT

*This work presents the design and performance of a cavity-stabilised voltage controlled oscillator, designed to operate as the VCO of a frequency synthesizer for an SCPC FM low-capacity earth station.*



SUMÁRIO

	<u>Pág.</u>
LISTA DE FIGURAS .....	v
1. <u>INTRODUÇÃO</u> .....	1
2. <u>DESCRIÇÃO DO PROJETO</u> .....	2
2.1 - VCO .....	2
2.2 - Oscilador e circuito isolador .....	2
2.3 - Amplificador .....	5
3. <u>RESULTADOS E CONCLUSÕES</u> .....	7
REFERÊNCIAS BIBLIOGRÁFICAS .....	13



## LISTA DE FIGURAS

	<u>Pág.</u>
1 - Circuito do VCO .....	3
2 - Circuito do conjunto oscilador e isolador .....	4
3 - Curvas de $\Gamma_s(f)$ e $\Gamma_{in}(f)$ .....	6
4 - Circuito do amplificador .....	7
5 - "Layout" do VCO .....	7
6 - Esquema de montagem do VCO .....	8
7 - Detalhes mecânicos da caixa do VCO .....	11
8 - Curva de sintonia do VCO .....	12



## 1. INTRODUÇÃO

Sintetizadores de frequências na faixa de 1 GHz que utilizam osciladores de microondas controlados por tensão (VCO) são frequentemente empregados como osciladores locais em receptores de microondas. Para aplicação em estações terrenas de baixa capacidade é importante que estes sintetizadores apresentem baixo ruído de fase aliado às características de simplicidade de montagem e pequeno porte. A estabilização de um VCO por cavidade ressonante garante excelente desempenho em ruído de fase, sem necessariamente introduzir complexidade mecânica na sua construção.

Este trabalho descreve o projeto e funcionamento de um oscilador controlado por tensão e estabilizado por cavidade ressonante na faixa de 1,15 GHz a 1,35 GHz. Este oscilador foi projetado para utilização como VCO dos sintetizadores de frequência de transmissão e recepção da Estação Terrena SCPC FM de baixa capacidade, tendo suas principais características mostradas na Tabela 1.

TABELA 1

ESPECIFICAÇÕES DO VCO

FREQUÊNCIA CENTRAL	1250 MHz
SINTONIA MECÂNICA	1150-1350 MHz
SINTONIA ELETRÔNICA (0-10V)	Min 500 KHz Max 2 MHz
POTÊNCIA DE SAÍDA	23 ± 1 dBm
IMPEDÂNCIA DE SAÍDA	VSWR < 3:1
RUIDO DE FASE ( $f > 10000$ Hz)	$\leq -88$ dBc/Hz

## 2. DESCRIÇÃO DO PROJETO

### 2.1 - VCO

O circuito do VCO encontra-se esquematizado na Figura 1. O circuito de sintonia é formado pela cavidade (CAV), diodo varactor (D1) e capacitores de acoplamento ( $C_1$  e  $C_2$ ). A saída do transistor oscilador  $T_1$  é acoplada através de  $C_3$  à entrada do transistor  $T_2$ , que age como isolador de  $T_1$ . Os capacitores  $C_4$  e  $C_5$  são utilizados como casadores da impedância de saída de  $T_2$  para a entrada do estágio de potência em  $T_3$ . O casamento de saída deste último é realizado através de  $L_1$ ,  $L_2$ ,  $L_3$  e  $C_6$ . Os resistores  $R_1$  e  $R_2$  agem na polarização do diodo varactor D1, enquanto  $R_3$ ,  $R_4$ ,  $R_5$ ,  $R_6$ ,  $R_7$ ,  $R_8$ ,  $R_9$  e  $R_{10}$  são utilizados na polarização de  $T_1$ ,  $T_2$  e  $T_3$ .  $R_{11}$  e  $R_{12}$  são usados para adequar as tensões de alimentação requeridas pelos transistores à fonte de +21V. A cavidade coaxial, com excitação do tipo magnética, é sintonizada através de um parafuso que se encontra alinhado com o condutor central.

### 2.2 - OSCILADOR E CIRCUITO ISOLADOR

O conjunto oscilador e isolador é inicialmente projetado para apresentar resistência negativa na base de  $T_1$ , através da realimentação série do tipo indutiva. Esta realimentação, que pode ser representada por uma indutância ( $L_R$ ), como indicado na Figura 2, é formada pelo próprio terminal do resistor  $R_6$ . Medidas realizadas com o diodo GC51112 mostram que é possível obter uma variação de capacidade da ordem de 3:1, com tensão de controle ( $V_c$ ) na faixa de 0V a 15V. Visando atender o requisito de sintonia eletrônica fina e a preservação do Q ao circuito de sintonia, o varactor é desacoplado do circuito através de  $C_2$  e sua variação em capacidade é controlada através do divisor de tensão formado por  $R_1$  e  $R_2$ .

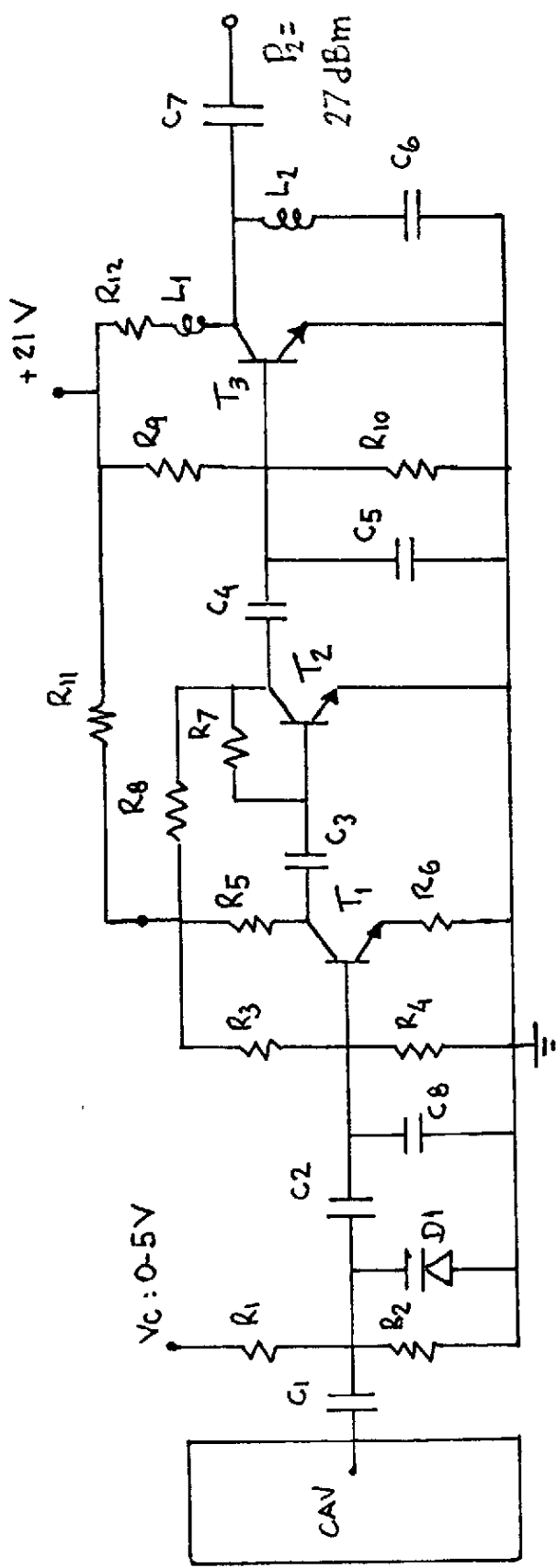


Fig. 1 - Circuito do VCO.

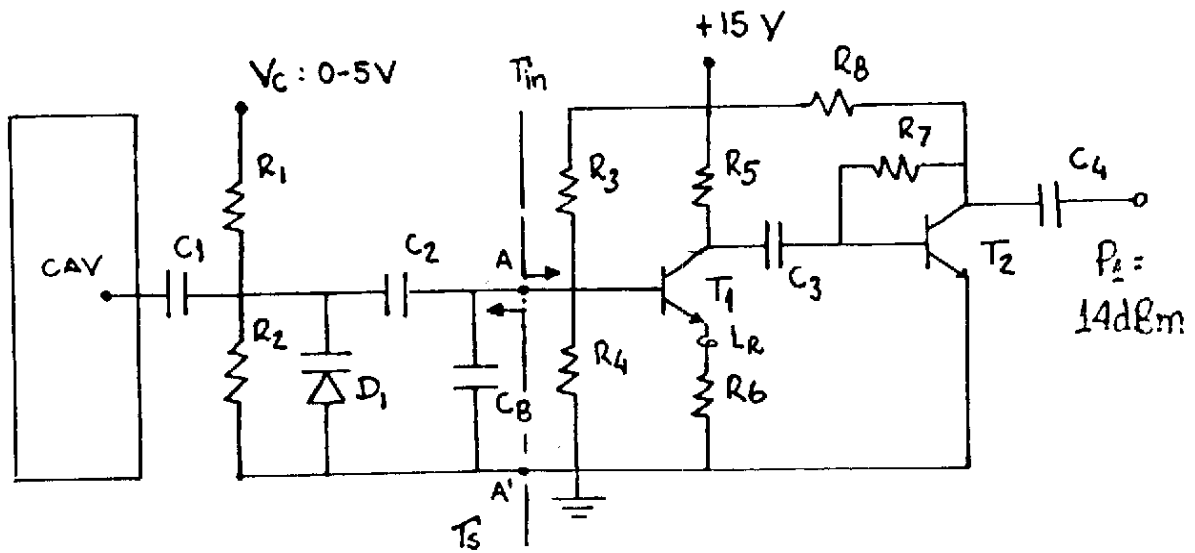


Fig. 2 - Circuito do conjunto oscilador e isolador.

A impedância do circuito de sintonia, representada por  $Z_s(f)$ , assim como o capacitor de acoplamento de saída,  $C_4$ , são ajustados de maneira a proporcionar máxima potência de saída na frequência de 1250 MHz. É necessário verificar a presença de resistência negativa na impedância de entrada do transistor oscilador,  $Z_{in}(f)$ , em toda a faixa de frequências de interesse. Esta medida é realizada substituindo o circuito de sintonia por um analisador de malhas e excitando a base do transistor  $T_1$  com um nível de sinal que proporcione a mesma potência na saída. Na Figura 3 encontra-se plotado o inverso do coeficiente de reflexão:

$$r_{in}(f) = \frac{Z_{in}(f) - Z_0}{Z_{in}(f) + Z_0} \quad (1)$$

medido na faixa de frequências de 1150 MHz a 1350 MHz. Igualmente,  $Z_s(f)$  pode ser avaliada na faixa de 1150 MHz a 1350 MHz. Atuando em  $C_1$  e no "loop" de excitação da cavidade, ajusta-se a curva do coeficiente de reflexão,

$$r_s(f) = \frac{Z_s(f) - Z_0}{Z_s(f) + Z_0},$$

para que esta se sobreponha à curva de  $1/r_{in}(f)$ . Observa-se que para que isto seja possível o circuito de sintonia, que pode ser representado por um circuito RLC paralelo, estará ligado de forma superacoplada ao circuito do oscilador (Sucher and Fox, 1963). A existência da condição de oscilações estáveis em toda faixa de frequências de interesse é verificada quando se considera a variação da tensão de controle ( $V_c$ ) que atua sobre a curva de  $1/r_{in}(f)$ . (Marshall, 1982). Deve-se tomar cuidado com a possível degradação do fator de qualidade ( $Q$ ) da cavidade decorrente de ajustes na impedância do circuito de sintonia.

### 2.3 - AMPLIFICADOR

O circuito do amplificador, projetado para um ganho de 13 dB, é montado separadamente como mostrado na Figura 4. O ajuste de ganho e planura de ganho na faixa de 200 MHz é realizado atuando-se em  $C_5$ ,  $C_6$ ,  $C_7$ ,  $L_1$  e  $L_2$ . É conveniente a substituição de  $C_5$  e  $C_7$  por um capacitor variável para facilitar o ajuste. O circuito de polarização de  $T_3$  deve proporcionar 18,5V de tensão coletor-emissor com 45 mA de corrente no coletor.

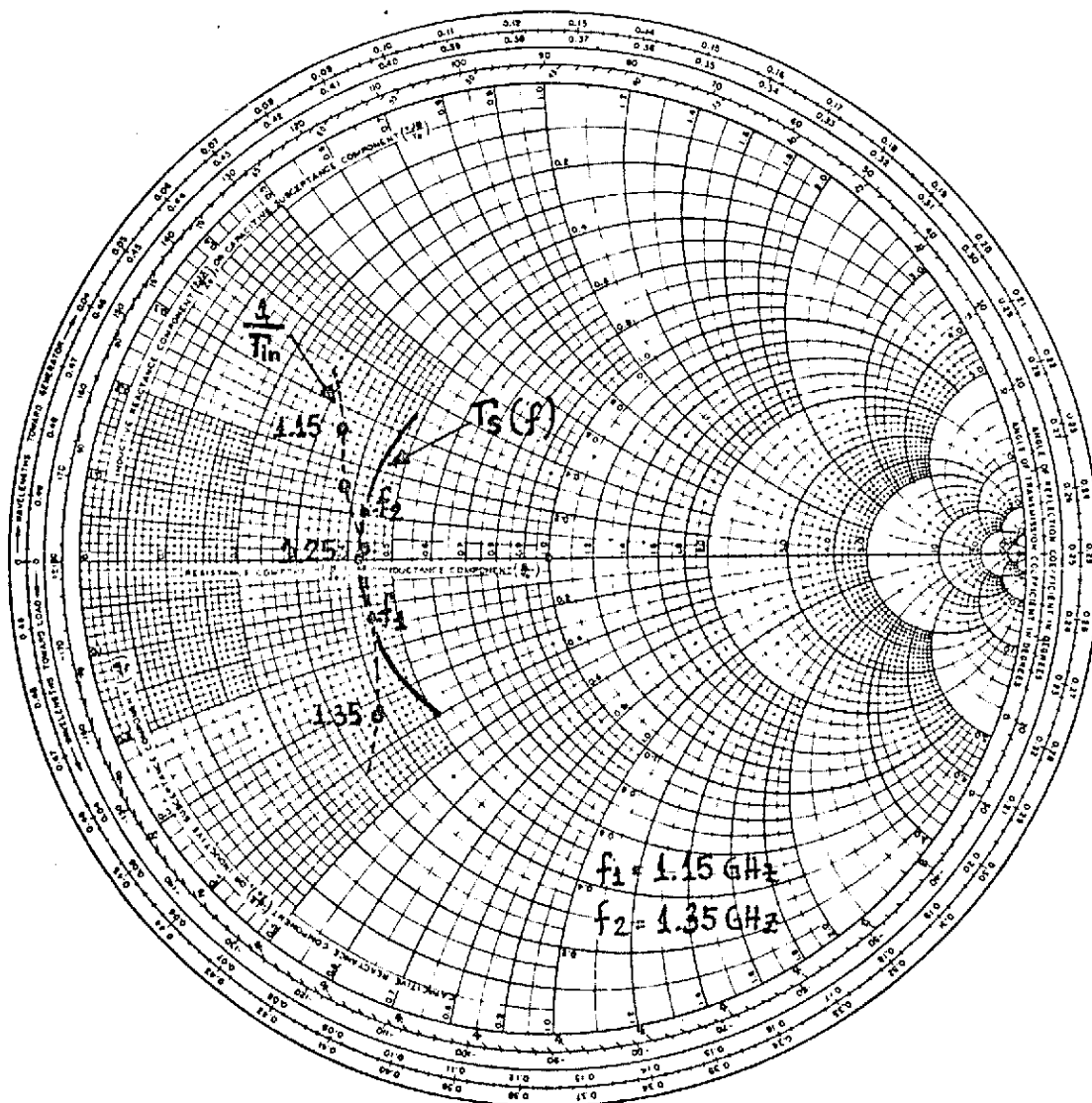


Fig. 3 - Curvas de  $r_s(f)$  e  $r_{in}(f)$ .

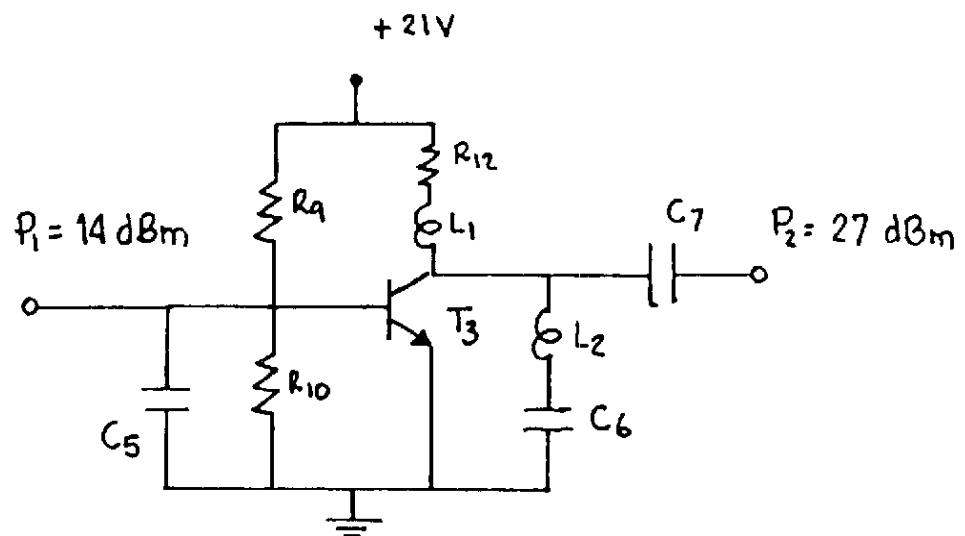


Fig. 4 - Circuito do amplificador.

### 3. RESULTADOS E CONCLUSÕES

Todas as partes do circuito do oscilador foram integradas em uma só placa dielétrica de fibra de vidro, de dimensões 65 mm x 25,4 mm x 1,59 mm, cujo "layout" está mostrado na Figura 5. Um esquema detalhado da montagem é mostrado na Figura 6, enquanto a lista dos componentes utilizados é apresentada na Tabela 2. Detalhes mecânicos da caixa do VCO estão mostrados na Figura 7.

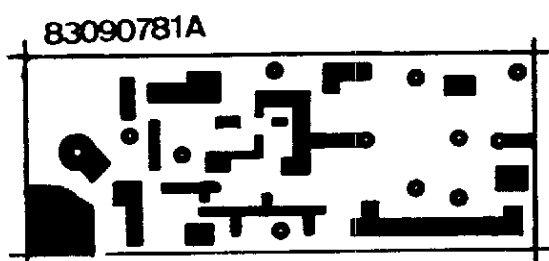


Fig. 5 - "Layout" do VCO.

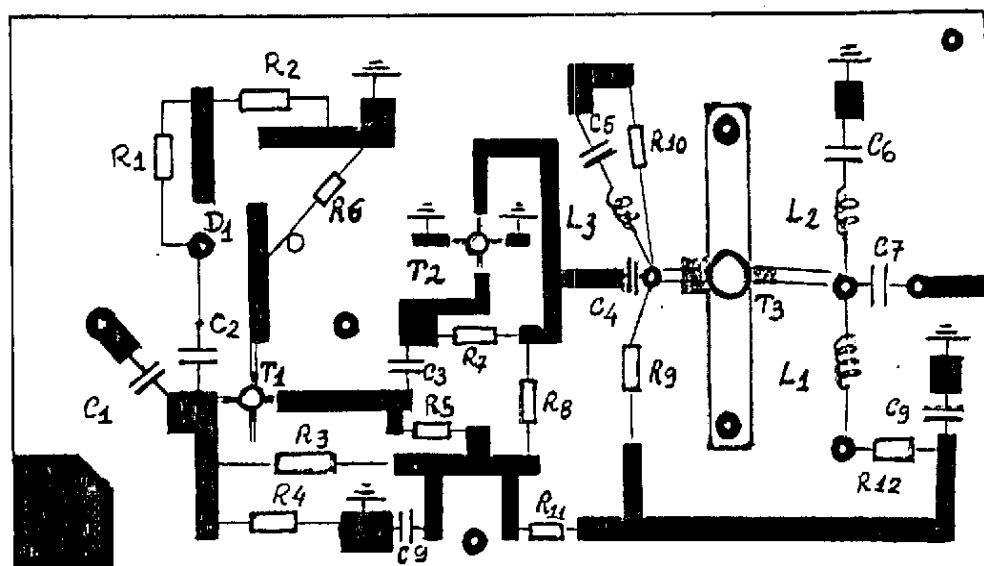


Fig. 6 - Esquema de montagem do VCO.

TABELA 2

LISTA DE COMPONENTES DO VCO

SÍMBOLO	DESCRÍÇÃO	FABRICANTE
T <sub>1</sub> ,T <sub>2</sub>	Transistor NE02135	NEC
T <sub>3</sub>	Transistor HXTR5102	Hewlett Packard
D <sub>1</sub>	Diôdo GC51112	GHz Devices
C <sub>1</sub> ,C <sub>9</sub>	Capacitor 20 pF	ATC
C <sub>3</sub> ,C <sub>4</sub> ,C <sub>5</sub>	Capacitor 5,6 pF	ATC
C <sub>6</sub>	Capacitor 13 pF	ATC
C <sub>7</sub>	Capacitor 7,5 pF	ATC
C <sub>2</sub> ,C <sub>8</sub>	Capacitor 2,0 pF	ATC
R <sub>1</sub>	Resistor 1KΩ/0,125W	Constanta
R <sub>2</sub>	Resistor 3KΩ/0,125W	Constanta
R <sub>3</sub> ,R <sub>4</sub> ,R <sub>7</sub>	Resistor 10KΩ/0,125W	Constanta
R <sub>5</sub>	Resistor 120Ω/0,125W	Constanta
R <sub>6</sub>	Resistor 360Ω/0,125W	Constanta
R <sub>8</sub>	Resistor 270Ω/0,125W	Constanta

(continua)

Tabela 2 - Conclusão

SÍMBOLO	DESCRICAÇÃO	FABRICANTE
R <sub>9</sub>	Resistor 8K2Ω/0,125W	Constanta
R <sub>10</sub>	Resistor 1K2Ω/0,125W	Constanta
R <sub>11</sub>	Resistor 270Ω/0,5W	Constanta
R <sub>12</sub>	Resistor 56Ω/0,125W	Constanta
L <sub>1</sub>	Bobina 7 espiras φ = 3mm	
L <sub>2</sub> ,L <sub>3</sub>	Bobina 1 espira φ = 3mm	

O oscilador construído apresenta a curva de sintonia mostrada na Figura 8. A variação da potência de saída em toda a faixa é menor do que ± 0,8 dB. De maneira a atender a especificação de baixo VSWR (<3:1), foi utilizado um atenuador de 3 dB na saída do oscilador. O valor do atenuador corresponde à margem de potência obtida considerando-se as especificações da Tabela 1. O ruído de fase medido a 10 KHz de afastamento da portadora é de -90 dBc/Hz e a sensibilidade do oscilador à tensão de controle é de aproximadamente 50 kHz/V, atendendo portanto às especificações mostradas na Tabela 1.

Em vista dos resultados obtidos e da generalidade do método de projeto descrito, verifica-se que este é adequado para o projeto de osciladores de microondas controlados a tensão e estabilizados por cavidades ou outro tipo de ressoadores. Por exemplo, o mesmo procedimento pode ser utilizado em frequências elevadas (acima de 2 GHz) quando se torna conveniente a realização dos circuitos do oscilador com elementos distribuídos, utilizando a técnica de microfita em vez de elementos concentrados. Nestes casos, é possível substituir a cavidade por um ressoador dielétrico constituído por cerâmica de baixa perda e elevada constante dielétrica em frequências de microondas, obtendo-se uma realização vantajosa sob aspectos de integração dos circuitos e simplicidade da montagem (Marshall, 1982). Projetos de VCOs estabilizados por ressoadores dielétricos em frequências acima de 2 GHz serão objeto de relatórios futuros.

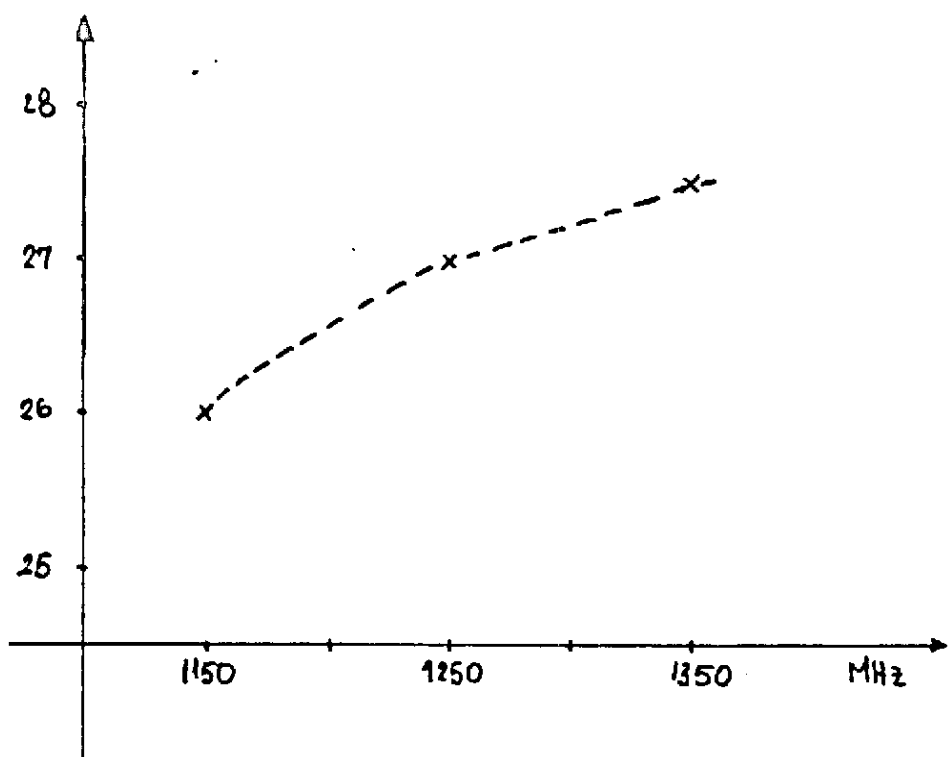


Fig. 8 - Curva de sintonia do VCO.



REFERÉNCIAS BIBLIOGRÁFICAS

MARSHALL, P.M. *Estabilização de osciladores de microondas utilizando ressoadores dieletricos cilindricos.* São José dos Campos, INPE, maio 1982. (INPE-2403-TDL/090).

SUCHER, M.; FOX, J. *Handbook of microwave measurements.* New York, John Wiley, 1963. V. 2.